

広島大学 正 綱 干 寿 夫
学生 ○江野尾 信 明

1. まえがき

基礎の先端の極限支持力は、最初、浅い基礎の支持力理論から出発しており、Terzaghi は剛塑性論の立場から工学的に使いやすい支持力の理論を示している。さらに Meyerhof がその理論を発展させて、深い基礎に適用できる支持力理論を示すに至っている。これらの理論は、基礎地盤の破壊に際して載荷部の両側にすべり面が生じて、そのすべり面上のせん断抵抗と抑え荷重が極限荷重と平衡しているという考え方によって支持力を算定している。模型実験においても、深い基礎についてではこのようなすべり面の存在は認められている。しかし、深い基礎の先端支持機構については、Kerzel の実験でも明らかにされていくように、Terzaghi や Meyerhof の支持力理論は根本的に問題があるようと思われる。これらについては、基礎地盤の破壊のメカニズムから明らかにしてゆかねばならない。本研究はケーソンや杭などの深い基礎の支持力を求めるために、高い圧力で拘束された基礎地盤が載荷によってどのように変形し破壊に至るかを実験的に明らかにし、それによって新しい支持力公式を導くための基礎的研究である。これらの実験における地盤の破壊は、従来の支持力の考え方とまったく異ったものであることを明らかにすることができた。さらに理論的に解析する方法を明らかにするための手掛りとして、有限要素法によって応力-変形の状態を計算し、実測値と比較するという手法を試みている。

2. 実験装置及び方法

深い基礎の場合、基礎の周辺は高い圧力で拘束されている。このような場合の模型実験の方法として、本実験では、鋼製のモールドのような容器の中で高いサーチャージを加えながら部分載荷するという方法を採用した。容器は図-1 に示す様に、内径 600 mm 中、高さ 500 mm の鋼製円筒であって、その中央に直徑 100 mm の剛性基礎がおかれ、試料表面中央に載荷される様になっている。又試料表面はゴム膜でおおわれ、圧力ポンプによってかなり高い水圧がサーチャージとして試料表面にかけられるようになっている。容器の径や深さに比べて載荷板の面積が小さくとってもあるが、これは深い基礎地盤の破壊が地盤の圧縮特性とせん断強さのある条件の下に発生すると考えられるので、側面の拘束による圧縮性への影響が生じないよう載荷部に対して試料径を大きくとった。図-2 に

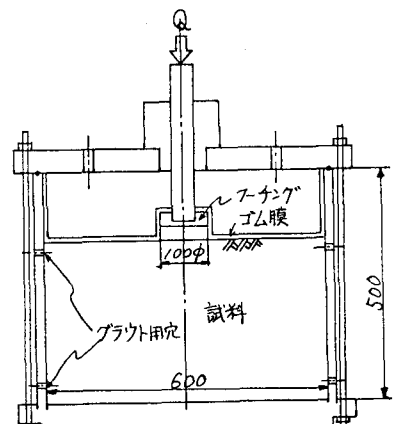


図-1 実験装置本体

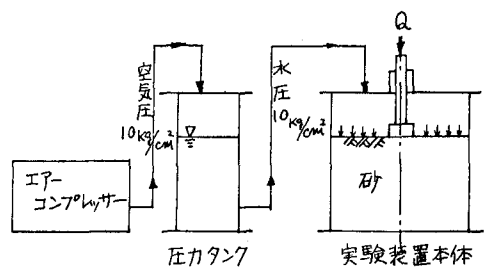


図-2 実験装置系統図

実験装置のアウトラインが系統図として示されており。試料は太田川産の砂で、その粒度分布は図-3に示してある。基礎に載荷した後の地盤内部の変形状態を知るために、一定の深度毎に色のついた砂か帶状の紙片をはさみながら突き固めてゆく。又試験後の状態を明らかにする為に、砂をグラウトで

固めると、この方法をとった。試験の簡単なプロセスとして、水ガラス（セントラルガラス社製、商品名SMセット）を砂の重量の3%程度加えて充分混和して容器につき固め、載荷終了後側壁の穴から二酸化炭素を送入して硬化させるという方法をとった。このように硬化させて、容器から抜きと、たものを中央から縦割りにけずりとて地盤内部の変形状態を知る二点がである。

3. 実験結果

使用した砂のせん断強度を知るために、SMセットを混和することによってどの程度強度に影響があるかを明らかにするために、三軸圧縮試験を行なった。その1例を図-4,5に示してある。これより $\phi = 37^\circ$ 前後であることがわかる。三軸圧縮試験も模型実験と同程度の応力レベルで実験する必要があるが、当教室で現在利用しうる最大側圧は 12 kg/cm^2 程度であって、あまり高圧力では測定していない。

i) サーチャージのない場合

サーチャージのない場合に、従来の研究結果と同様にはっきりしたすべり線が得ることを確認するために模型実験を実施した。この場合の荷重強度一覧下限曲線が図-6に示してある。試験終了後の地盤内部の状態は写真-1に示してある。すべり線の形および大きさは、Terzaghi の塑性論によるものと非常によく似ているといえる。この場合の極限支承力 $8d = 8.4 \text{ kg/cm}^2$ が得られた。

ii) 10 kg/cm^2 のサーチャージがある場合

この場合について前と同様に荷重下限曲線を描くと、i)の場合と異ってはっきりとしたピークが必ず ややかに折れ曲がって直線的に上昇する曲線が得られる（図-7）。破壊強度あるいは降伏応力を求めるために両対数目盛でプロットすると、ほぼ二本の直線で表わされる。この折線の屈曲点を降伏荷重

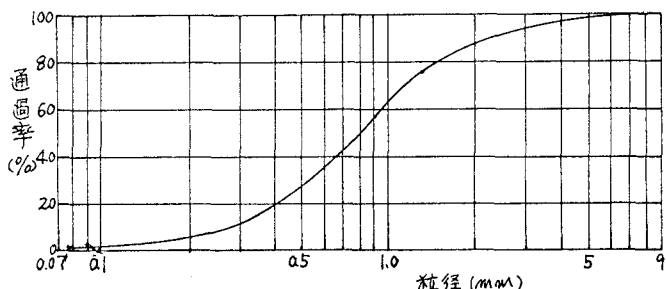


図-3 砂の粒度分布曲線

三軸圧縮試験

— SMセット3%含
--- SMセットなし

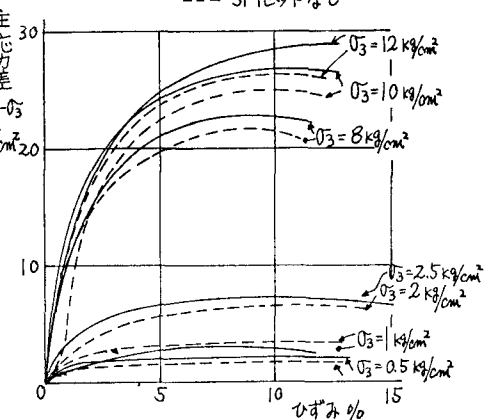


図-4

砂の三軸試験結果
— SMセット含
--- SMセットなし

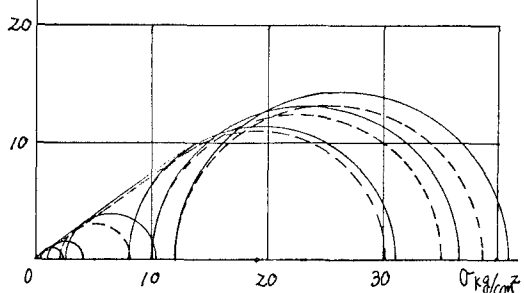


図-5

とすると、 $70\sim90 \text{ kg/cm}^2$ 程度の値が得られる。地盤内部の破壊状態が写真-2に示されている。この場合の地盤の破壊の様子はサーチャージのない場合とまったく異っていて、すべり面は見られず、Terzaghi, Meyerhof らの剛塑性論によるすべり破壊とまったく異った破壊現象であることが明らかである。この写真に示されているように、高い圧力で拘束された地盤の破壊は載荷部附近における局部的圧縮破壊という形をとるようである。写真に示された載荷部直下の圧力球根部の変色部は、高い圧力のために砂粒子が破碎されて変色した部分を示している。このように深い基礎の先端支持機構については、従来の支持力論は根本的に問題があるようであって、破壊はすべり破壊ではなくて地盤のミクロの組織の圧縮破壊と、圧縮破壊され密な状態になった球根部が地盤内に押込まれ際に下方および側方への弾塑性圧縮という形で起こっていると考えられる。

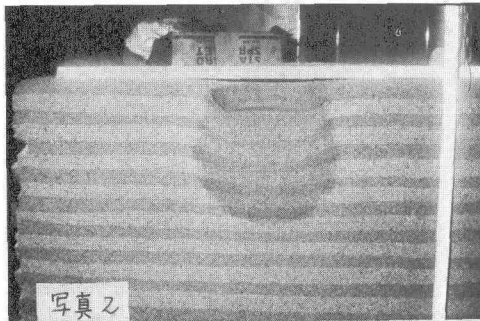


写真2

円型基礎における砂地盤の極限支持力は、Terzaghiによれば

$$q_d = 0.6 \gamma_2 R N_r + \gamma_1 D_f N_g \quad \dots \dots \dots \quad (1)$$

本実験の場合、 $\gamma_2 = 1.68 \text{ t}/\text{m}^3$, $R = 5 \text{ cm}$, $\gamma_1 D_f = 10 \text{ kg}/\text{cm}^2$ であって、この地盤のせん断強度 $C=0$, $\phi = 37^\circ$ から 支持力係数 N_r, N_g はそれぞれ $N_r=60$, $N_g=50$ となる。Meyerhof 理論によると $N_r=60$, $N_g=35$ 程度であり、これらを用いて計算してみると、 $\gamma_1 D_f = 0$ (サーチャージのない場合) では $q_d = 0.3 \text{ kg}/\text{cm}^2$ となる。 $\gamma_1 D_f = 10 \text{ kg}/\text{cm}^2$ のときには Terzaghi 式によると $q_d = 500 \text{ kg}/\text{cm}^2$, Meyerhof によると $q_d = 350 \text{ kg}/\text{cm}^2$ となる。実験による値はそれぞれ $8.4 \text{ kg}/\text{cm}^2$, $70\sim90 \text{ kg}/\text{cm}^2$ であるから、剛塑性論による解ではサーチャージのない場合は安全側過大とし、サーチャージのある場合は支持力を過大に見積り過ぎることになる。特にサーチャージのある場合、破壊状態が剛塑性論によるものと全く異なっているのが問題である。この場合の支持力がどのような法則性をもつているかが、今後の課題となる。

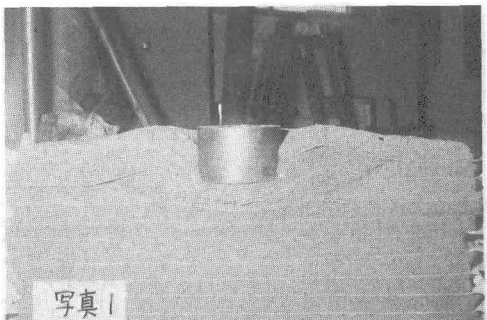
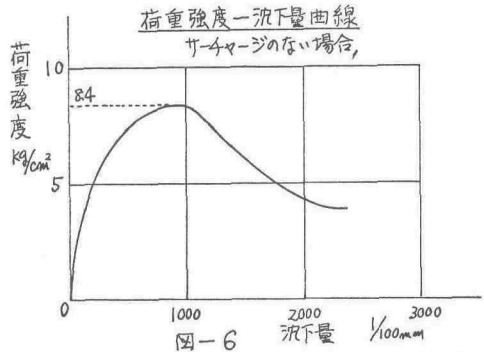
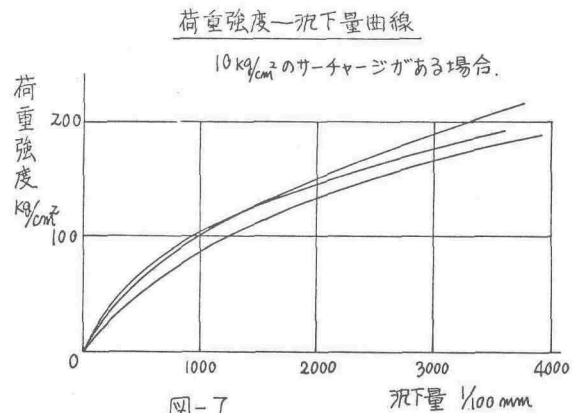


写真1



4. 有限要素法による解析

本実験の結果を定量的に解析し、地盤内部の破壊状態を明らかにするために、有限要素法による応力解析を試みていこう。本実験に使用された模型地盤は砂地盤であるから、圧縮力に対しては応力を伝達するが引張力に対しては抵抗しないと考える。このような no tension 材料の問題を解く方法として stress transfer process を用いることにした。応力-歪関係の非線型性を表現する為に、荷重増加法-増分法を用いた。図-8 に模型地盤の分割要素を示してある。図-9 は応力-歪関係の非線型性の仮定を説明するものである。即ち、砂のせん断弾性係数 G は平均主応力の値によって変化し、最大せん断歪 ϵ_0 に達するまでは $G = J \sigma_m$ (J は比例定数) に従った値をとるものとした。最大せん断歪 ϵ_0 を越えると降伏したものとして、 G は一定値 G_0 になると考える。一方体積歪 ν は、平均主応力 σ_m に比例するものとした、 $\nu_m = k \epsilon$ (k は比例定数)。現在計算中であるので、計算結果は発表時に報告する予定である。

5.まとめ

深い基礎の先端支持機構を明らかにするため、高圧力で拘束された砂地盤が部分載荷された場合の変形と破壊について実験的に研究した。結果は次の通り。

1. 深い基礎による破壊は、剛塑性論による Terzaghi らの理論のようにすばり破壊とする。
2. 深い基礎の場合には、ヤーチャージによる拘束効果のために、弾塑性的な圧縮破壊が起こる。従って、深い基礎の場合には剛塑性論による支持力公式を適用するには問題がある。
3. 本実験において定量的な結論は得られていないが、現象から見て、ミクロンの組織内の破壊の問題が重視されねばならない。

なお、本研究を行なうにあたりて、本州四国連絡橋公団の援助を受けた。ここに記して謝意を表する次第である。

6. 参考文献

1. Jumikis, A.J. "Soil Mechanics" Von Nostrand. 1962.
2. Kerisel, J. "Deep Foundations Basic Experimental Facts" Proc. North Am. Conf. on Deep Foundations.
3. Vesic, A.S. "Ultimate Loads and Settlements of Deep Foundations in Sand." Sym. Bearing Capacity and Settlements of Foundations, Duke Univ. 1965.
4. O.C. Zienkiewicz, S. Valliapan, I.P. King, "Stress Analysis of Rock as a 'No Tension' Material" Geotechnique 18, 1968, pp.58~66

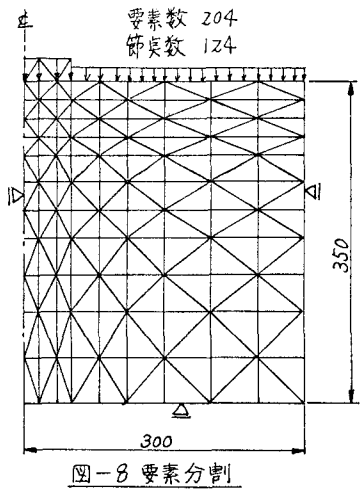


図-8 要素分割

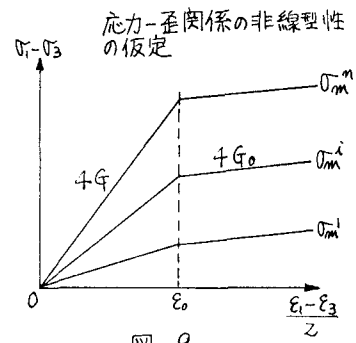


図-9